

Щелевые электроразвукковые волны, направляемые поперечно движущейся трещиной пьезоэлектрического кристалла

С.Н. Марышев¹, Н.С. Шевахов²

¹ Московский физико-технический институт (государственный университет)
141700, Российская Федерация, Московская обл., г. Долгопрудный
Институтский пер., 9

² Саровский физико-технический институт НИЯУ МИФИ
607186, Российская Федерация, Нижегородская обл., г. Саров
ул. Духова, 6

Обсуждаются спектральные свойства мод щелевых электроразвукковых волн на границах плоской трещины, равномерно движущейся в пьезоэлектрике класса 6mm(4mm, ∞m). Показано, что поперечное движение трещины обуславливает неколлинеарность удерживаемых ею электроразвукковых волн, приводит к параметрической связи симметричной и антисимметричной мод и оказывается источником частотной дисперсии.

Ключевые слова: пьезоэлектрический эффект, электроразвукковая волна, щелевая структура, дисперсия, движущаяся граница.

Введение

В серии работ [1–3] нами рассматривалось влияние относительного продольного перемещения (ОПП) пьезоэлектрических кристаллов на распространение электроразвукковых граничных волн в структуре с вакуумным зазором. Именуемые для краткости щелевыми электроразвукковыми волнами, они показали изменения дисперсионных характеристик мод под влиянием ОПП, доступные экспериментально обнаружению даже при низких скоростях относительного перемещения пьезоэлектриков порядка 10^{-3} м/с [3].

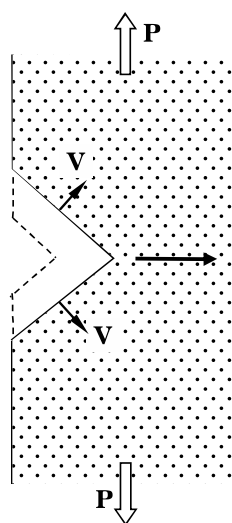


Рис. 1. Схематическая картина трещины, прорастающей с поверхности образца под нагрузкой P

Применительно к структурам со щелью интересно сопоставить результаты, полученные в работах [1–3], результатам, когда зазор (вакуумная щель) между кристаллами, поддерживая распространение электроразвукковых волн, подобно доменным границам сегнетоэлектрика [4; 5] испытывает поперечное перемещение. С чисто формальных позиций объектами такого рода в пьезоэлектрических кристаллах могут выступать плоскостные дефекты типа трещин.

Известно [6; 7], что в динамике движение трещины в твердых телах развивается обычно от ее вершины по касательной к берегам, т. е. трещины удлиняются (прорастают) без ощутимого поперечного перемещения границ. Впрочем, в отдельных ситуациях (прорастание с поверхности под растягивающей нагрузкой P – рис. 1; режим надкритической концентрации напряжений в вершине ветвящейся трещины [6; 7]) поперечная составляющая перемещения границ трещин становится заметной и задача об электроразвукковых волнах на поперечно движущейся трещине пьезоэлектрика обретает физический смысл. Ниже в геометрии, показанной на рис. 2, рассматривается распространение щелевых электроразвукковых волн вдоль поперечно перемещающегося по неподвижному кристаллу класса 6mm(4mm, ∞m) вакуумного зазора, который имитирует движущуюся трещину.

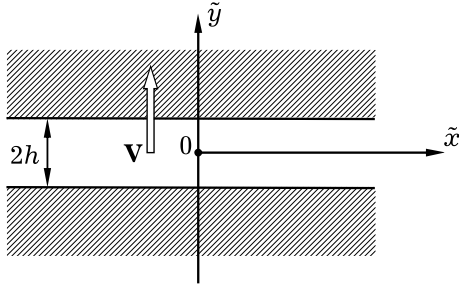


Рис. 2. Геометрия задачи: движущаяся трещина как вакуумный зазор, бегущий по кристаллу

1. Исходные уравнения и граничные условия

Примем, что в попутной системе отсчета $\tilde{x}0\tilde{y}\tilde{z}$, привязанной к трещине шириной $2h$, границы трещины $\tilde{y} = \pm h$ лежат в кристаллографических плоскостях (010) пьезоэлектрика класса $6mm(4mm, \infty m)$, а оси лабораторной системы отсчета $x0yz$ привязаны к кристаллу и соответствуют кристаллографической установке. Примем также, что трещина перемещается в поперечном направлении $[010] \parallel y$ с дозвуковой скоростью \mathbf{V} . Для сдвиговых волн со смещениями $\mathbf{u} \parallel z$, распространяющимися в плоскости $x0y$, имеем в лабораторной системе отсчета в качестве исходных уравнения [4; 5]

$$\frac{\partial^2 u}{\partial t^2} = c_t^2 \nabla^2 u, \quad \nabla^2 \Phi = 0. \tag{1}$$

Здесь t – время, ∇^2 – оператор Лапласа, $c_t = (c_{44}^* / \rho)^{1/2}$ – скорость сдвиговых волн с учетом пьезоэлектрического ужесточения модуля сдвига кристалла c_{44} до значения $c_{44}^* = c_{44} + 4\pi e^2 / \epsilon$, e – пьезоэлектрический модуль, ϵ – диэлектрическая проницаемость, ρ – плотность. Величина Φ в (1) представляет собой ту часть полного электрического потенциала

$$\varphi = \frac{4\pi e}{\epsilon} u + \Phi, \tag{2}$$

которая описывает приграничные электрические колебания, индуцированные под действием акустической волны с границ трещины в кристалл поверхностными пьезоэлектрическими зарядами.

Наряду с электрическими полями приграничных колебаний в пьезоэлектрике необходимо также учитывать электрическое поле потенциала Φ_0 в зазоре $|\tilde{y}| \leq h$. Поэтому уравнения (1), (2) необходимо решать совместно с уравнением Лапласа

$$\nabla^2 \Phi_0 = 0. \tag{3}$$

Важным моментом решения граничных задач для электродвуковых волн на движущихся гра-

ницах [4; 5] является правильный отбор ветвей решения при определении зависимости полей смещений u и электрических потенциалов φ, Φ, Φ_0 от поперечной координаты. Из-за непрерывной смены положения границ сделать это возможно только в попутной системе отсчета $\tilde{x}0\tilde{y}\tilde{z}$. Данное обстоятельство предопределяет безусловную необходимость построения решения граничной задачи именно в этой системе координат даже в тех случаях, когда единственный интерес представляет поведение решения только в лабораторной системе отсчета.

Для перехода в попутную систему отсчета воспользуемся преобразованием Галилея

$$x = \tilde{x}, \quad y = \tilde{y} + V\tilde{t}, \quad z = \tilde{z}, \quad t = \tilde{t}, \tag{4}$$

которое адекватно согласуется с принятием квазистатического приближения при определении электрических полей. С учетом (4) уравнения (1), (3) примут вид

$$\left[\frac{1}{c_t^2} \left(\frac{\partial}{\partial \tilde{t}} - V \frac{\partial}{\partial \tilde{y}} \right)^2 - \tilde{\nabla}^2 \right] u = 0, \tag{5}$$

$$\tilde{\nabla}^2 \begin{pmatrix} \Phi \\ \Phi_0 \end{pmatrix} = 0, \quad \tilde{\nabla}^2 = \frac{\partial^2}{\partial \tilde{x}^2} + \frac{\partial^2}{\partial \tilde{y}^2}.$$

С учетом требования ограниченности потенциалов и смещений из уравнений (5) получим следующее представление решения в попутной системе отсчета

$$\begin{aligned} u_1 &\equiv u(\tilde{y} > h) = U_1 \exp[i(\phi + k_{\perp} \tilde{y}) \exp(-s\tilde{y})], \\ \Phi_1 &\equiv \Phi(\tilde{y} > h) = F_1 \exp(i\phi) \exp(-k\tilde{y}), \\ u_2 &\equiv u(\tilde{y} < -h) = U_2 \exp[i(\phi + k_{\perp} \tilde{y}) \exp(s\tilde{y})], \\ \Phi_2 &\equiv \Phi(\tilde{y} < -h) = F_2 \exp(i\phi) \exp(k\tilde{y}), \\ \Phi_0 &\equiv \exp(i\phi) [C \exp(k\tilde{y}) + D \exp(-k\tilde{y})], \quad |\tilde{y}| < h. \end{aligned} \tag{6}$$

В выражениях (6) $\phi = k\tilde{x} - \Omega\tilde{t}$ – фаза колебаний в волне, отсчитываемая вдоль границ трещины, k – продольная, а

$$k_{\perp} = \frac{\Omega}{c_t} \frac{\beta}{1 - \beta^2} \tag{7}$$

– поперечная компонента полного волнового вектора $\mathbf{k} = \mathbf{k} + \mathbf{k}_{\perp}$ волны, Ω – частота колебаний в попутной системе отсчета, $\beta = V / c_t$. Величина s , имеющая смысл постоянной амплитудного спада сдвига смещений в пьезоэлектрик от границ трещины, как и в [4; 5] будет определяться равенством

$$s = \frac{1}{1 - \beta^2} \left[k^2 (1 - \beta^2) - \frac{\Omega^2}{c_t^2} \right]^{1/2}. \tag{8}$$

Граничные условия, выражающие при $\tilde{y} = \pm h$ отсутствие сдвиговых напряжений и непрерыв-

ность электрических потенциалов вместе с непрерывностью нормальных компонент электрической индукции, не содержат временных производных и, поэтому, как неоднократно указывалось [4; 5], остаются инвариантными при переходе в попутную систему отсчета. В данном случае, ввиду уравнений пьезоэффекта и с учетом (2), их можно представить в виде

$$\begin{aligned} \left(\frac{4\pi e}{\varepsilon} u_{1,2} + \Phi_{1,2} \right) \Big|_{\tilde{y}=\pm h} &= \Phi_0 \Big|_{\tilde{y}=\pm h}, \\ \varepsilon \frac{\partial \Phi_{1,2}}{\partial \tilde{y}} \Big|_{\tilde{y}=\pm h} &= \frac{\partial \Phi_0}{\partial \tilde{y}} \Big|_{\tilde{y}=\pm h}, \\ \left(c_{44}^* \frac{\partial u_{1,2}}{\partial \tilde{y}} + e \frac{\partial \Phi_{1,2}}{\partial \tilde{y}} \right) \Big|_{\tilde{y}=\pm h} &= 0. \end{aligned} \quad (9)$$

В формулах (9) величинам u и Φ предписывается индекс «1», если соответствующее граничное условие формулируется на верхней границе $\tilde{y} = h$, и индекс «2» – для условий на нижней границе $\tilde{y} = -h$.

2. Дисперсионное соотношение и анализ спектра мод

Подстановка выражений (6) в граничные условия (9) приводит к системе однородных алгебраических уравнений, из требования разрешимости которой имеем, в форме равенства нулю детерминанта системы, дисперсионное соотношение для электрозвуковых волн на поперечно смещающейся трещине пьезоэлектрического кристалла

$$\begin{aligned} &\exp(-2kh)[k\mathcal{K}^2 - s(1 - \varepsilon)]^2 + \\ &+ \exp(-2kh)k_{\perp}^2(1 - \varepsilon)^2 = \\ &= \exp(2kh)[k\mathcal{K}^2 - s(1 + \varepsilon)]^2 + \\ &+ \exp(2kh)k_{\perp}^2(1 + \varepsilon)^2. \end{aligned} \quad (10)$$

Здесь величина $\mathcal{K}^2 = 4\pi e^2 / (\varepsilon c_{44}^*)$ – квадрат коэффициента электромеханической связи пьезоэлектрика.

Конфигурацией и принятым характером перемещения границ рассматриваемая задача о движущейся трещине пьезоэлектрика напоминает рассмотренную в [8; 9] задачу для электрозвуковых волн на движущемся полосовом домене сегнетоэлектрического кристалла. Именно этим объясняется идентичность выражения (10) дисперсионному соотношению работ [8; 9], если не обращать внимания на поле упругих смещений внутри полосового домена. Соответственно сразу можно заключить о принадлежности волн на

трещине к разряду неколлинеарных электрозвуковых волн со всеми их особенностями, отмечавшимися в [4–9].

Сравниваемые задачи, тем не менее, не сводятся друг к другу из-за очевидных отличий в граничных условиях. Проистекающие отсюда различия в дисперсионных свойствах электрозвуковых волн, удерживаемых движущимся полосовым доменом и движущейся трещиной, составляют необходимый элемент новизны для последующего анализа.

Движение трещины сказывается в (10) присутствием вторых слагаемых, пропорциональных k_{\perp}^2 . При $k_{\perp} = 0$ в частности имеем вместо (10)

$$\begin{aligned} &\exp(-2kh)[k\mathcal{K}^2 - s(1 - \varepsilon)]^2 = \\ &= \exp(2kh)[k\mathcal{K}^2 - s(1 + \varepsilon)]^2. \end{aligned}$$

Обе стороны этого равенства образуют полные квадраты, что позволяет сразу понизить порядок уравнения вдвое, прибегнув к процедуре извлечения корней:

$$\begin{aligned} &\exp(-kh)[k\mathcal{K}^2 - s(1 - \varepsilon)] = \\ &= \pm \exp(kh)[k\mathcal{K}^2 - s(1 + \varepsilon)]. \end{aligned} \quad (11)$$

Наличие двух корней отражает существование двух независимых ветвей спектра мод электрозвуковых волн. Группируя в (11) члены при \mathcal{K}^2 и s получим соответственно

$$\xi\mathcal{K}^2 = \sigma[1 + \varepsilon \operatorname{cth}(\xi)], \quad \xi\mathcal{K}^2 = \sigma[1 + \varepsilon \operatorname{th}(\xi)], \quad (12)$$

где $\xi = kh$, $\sigma = sh$. В выражениях (12) нетрудно разглядеть дисперсионные соотношения симметричной и антисимметричной моды щелевой электрозвуковой волны для случая неподвижных кристаллов без поперечного пьезоэффекта и фиксированного зазора [3].

Если в (10) сгруппировать члены, пропорциональные k_{\perp}^2 в правой стороне равенства, то в условиях движения трещины получим

$$\begin{aligned} &\{\xi\mathcal{K}^2 - \sigma[1 + \varepsilon \operatorname{th}(\xi)]\}\{\xi\mathcal{K}^2 - \sigma[1 + \varepsilon \operatorname{cth}(\xi)]\} = \\ &= -p^2[1 + \varepsilon \operatorname{ctg}(\xi)][1 + \varepsilon \operatorname{th}(\xi)]. \end{aligned} \quad (13)$$

Сравнение выражений (12) с выражением (13), где $p = k_{\perp}h$, показывает, что движение трещины обеспечивает параметрическую связь мод щелевых волн, меняющую вид спектров. Для предельно тонкой трещины $\xi \rightarrow 0$ на основании (13) имеем квадратное по s уравнение: $s^2 - sk\mathcal{K}^2 + k_{\perp}^2 = 0$. Оно предсказывает в результате движения трещины снижение коэффициента граничной локализации колебаний антисимметричной моды $s \approx k\mathcal{K}^2 - k_{\perp}^2 / (k\mathcal{K}^2)$ и,

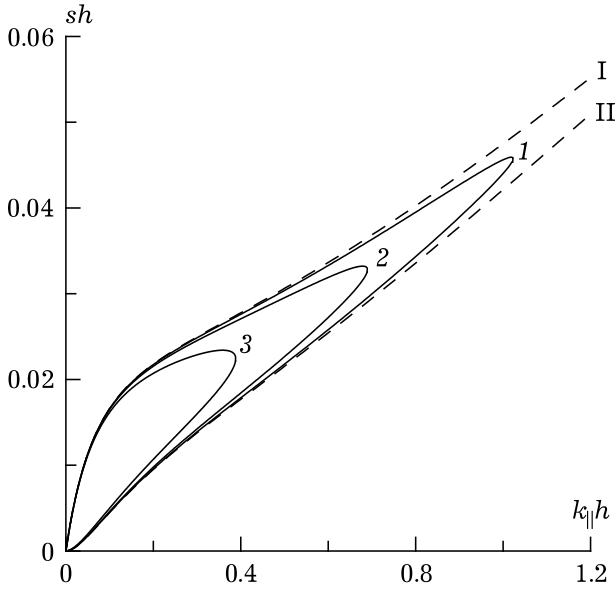


Рис. 3. Спектральные зависимости локализации щелевой электровзвучивающей волны поперечно движущейся трещиной пьезоэлектрического кристалла: 1 - $\beta = 0.01$; 2 - $\beta = 0.02$; 3 - $\beta = 0.04$

напротив, возникновение и пропорциональное повышение граничной локализации колебаний симметричной моды $s \approx k_{\perp}^2 / (k\mathcal{K}^2)$.

В другом предельном случае $\xi \rightarrow \infty$ уравнение (13) не имеет решения, если $p \neq 0$. Этот результат объясняется тем, что в условиях движения трещины для стационарного (вещественного, например, положительного $k > 0$) распространения неколлинеарной электровзвучивающей волны необходимо, чтобы поток энергии в волне, подтекающий с одной стороны трещины ($\tilde{y} < -h$), уравновешивался потоком энергии, отводимой волной с другой ее стороны ($\tilde{y} > h$). Указанный баланс потоков регулируется сцеплением электрических полей через трещину и, естественно, возможен только при достаточной малости толщины трещины, что находит отражение в существовании верхней границы решения уравнения (13): $\xi < \xi_{\max}$.

Уравнение (13) должно рассматриваться совместно с равенствами (7), (8) из которых следует, что $k_{\perp}^2 = \beta^2 [k^2(1 - \beta^2)^{-1} - s^2]$. С учетом этого соотношения уравнение (13) можно представить как квадратное по σ уравнение

$$\sigma^2 - \frac{\xi \mathcal{K}^2}{1 - \beta^2} f(\xi) \sigma + \left(\frac{\xi \mathcal{K}^2}{1 - \beta^2} \right)^2 g(\xi) = 0 \tag{14}$$

с функциями

$$\begin{aligned} f(\xi) &= [1 + \varepsilon \operatorname{th}(\xi)]^{-1} + [1 + \varepsilon \operatorname{cth}(\xi)]^{-1}, \\ g(\xi) &= \frac{\beta^2}{\mathcal{K}^4} + \frac{1 - \beta^2}{[1 + \varepsilon \operatorname{th}(\xi)][1 + \varepsilon \operatorname{cth}(\xi)]}. \end{aligned} \tag{15}$$

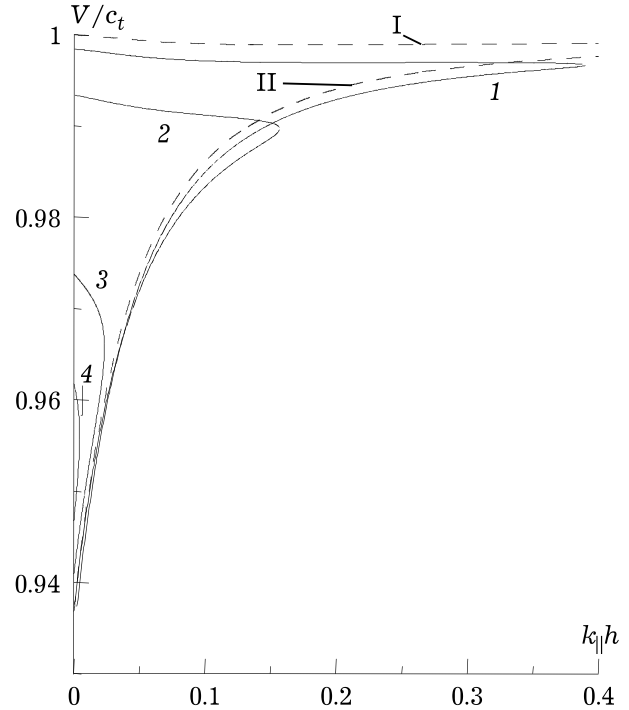


Рис. 4. Дисперсионные спектры щелевой электровзвучивающей волны на поперечно смещающейся трещине: 1 - $\beta = 0.04$; 2 - $\beta = 0.08$; 3 - $\beta = 0.15$; 4 - $\beta = 0.17$

При выполнении условия $f^2(\xi) \geq 4g(\xi)$ оно парой своих корней $\sigma_{1,2} > 0$ задает аналитически зависимости $\sigma = \sigma(\xi)$ спектра коэффициентов граничной локализации мод щелевых электровзвучивающих волн на берегах поперечно движущейся трещины. Процедура расчета сводится, таким образом, к подстановке найденных значений s для заданного k_{\parallel} в формулы (7), (8) и очередном вычислении величин Ω и k_{\perp} . Типичные результаты расчетов представлены на рис. 3 и 4 для случая, когда пьезоэлектрик характеризуется параметрами $\mathcal{K}^2 = 0.35$, $\varepsilon = 7$, а трещина имеет низкую скорость поперечного перемещения $\beta \ll 1$.

Штриховые кривые, обозначенные на рис. 3, 4 римскими цифрами I и II, представляют соответственно зависимости в случае неподвижной трещины ($\beta = 0$) для антисимметричной и симметричной мод электровзвучивающей волны, спектры которых даются выражениями (12). Видно, что движение трещины становится причиной параметрической связи симметричной и антисимметричной мод, которые при $\beta \neq 0$ не существуют изолированно друг от друга.

Вследствие указанной гибридизации спектров электровзвучивающей волна на движущейся трещине приобретает смешанные признаки симметрии/анти-симметрии распределения потенциала электрического поля поперек зазора. Анало-

гичную асимметрию в распределении упругих смещений граничной электровзвучивающей волны поперек полосового домена в сегнетоэлектрике вносит, как было показано в [8; 9], движение полосового домена. Однако в этом случае изолированность мод движением полосового домена не нарушалась – спектры электровзвучивающей волны трансформировались движением домена без гибридизации.

Геометрически гибридизация мод электровзвучивающей волны выражается смыканием ветвей спектров ее локализации (рис. 3) в замкнутую петлю и образованием дисперсионных спектров (рис. 4) в форме полупетель. Подобные особенности преобразования поверхностных и граничных волн движением границ отмечались ранее для сред с подсистемами резонансного типа [10–12]. Применительно к движущейся трещине пьезоэлектрика резонансные качества в форме оптимизируемой связи кристаллов полями через зазор (трещину) демонстрирует уже не среды сами по себе, а слагаемые ими слоистая структура.

С ростом скорости поперечного движения трещины происходит заметное укорачивание петель спектра локализации электровзвучивающей волны. Дисперсионные полупетли зависимостей фазовой скорости электровзвучивающей волны в попутной системе отсчета $v(\Omega) = \Omega / (k^2 + k_{\perp}^2)^{1/2}$ от волновой толщины трещины $k_{\parallel}h$ (рис. 4) при этом выпрямляются и укорачиваются.

Связь фазовых скоростей $v(\Omega)$ и $v(\omega)$ электровзвучивающей волны, а также других ее характеристик в попутной и лабораторной системе отсчета, вытекает из общих уравнений пьезоакустики (1). По этой причине относительность спектрального представления электровзвучивающей волны для движущейся трещины будет такой же, как и в случае движущихся доменных границ [4; 5; 8; 9]. В частности, имеем $v(\omega) = v(\Omega)(1 - \beta^2)$, откуда следует, что полная делокализация колебаний в пределе $\beta \rightarrow 1$, когда петли спектра локализации электровзвучивающей волны на рис. 3 стягиваются в начало ($sh \rightarrow 0$, $kh \rightarrow 0$), сопровождается «остановкой» электровзвучивающей волны: $v(\omega) \rightarrow 0$. Детальное объяснение этого феномена было дано в [9] для случая полосового домена и может быть целиком перенесено на рассматриваемый случай движущейся трещины. Именно, замечая, что в пределе $\beta \rightarrow 1$ трещина приобретает нулевую толщину, а волновая нормаль

полностью ориентируется по направлению движения трещины, этот результат объясняется расщеплением волны с трещиной.

Работа выполнена по гранту РФФИ в рамках проекта № 14-07-00621.

Список литературы

1. Гуляев Ю.В., Марышев С.Н., Шевяхов Н.С. Электровзвучивающая волна в зазоре пьезоэлектрической пары с относительным продольным перемещением // Письма в ЖТФ. 2006. Т. 32. № 20. С. 18–26.
2. Марышев С.Н., Шевяхов Н.С. Целевые волны на границах пьезоэлектриков в условиях относительного продольного перемещения / Сб. трудов XVIII сессии Российского акустического общества. Т. 1. М.: Геос, 2006. С. 23–26.
3. Вилков Е.А., Марышев С.Н., Шевяхов Н.С. Электровзвучивающие волны щелевого типа в слоистой структуре относительно перемещающихся пьезоэлектриков // Физика волновых процессов и радиотехнические системы. 2011. Т. 14. № 2. С. 84–92.
4. Шевяхов Н.С. Об электровзвучивающей волне на движущейся доменной границе // Акустический журнал. 1999. Т. 45. № 4. С. 570–571.
5. Гуляев Ю.В., Ельмешкин О.Ю., Шевяхов Н.С. Электровзвучивающие поверхностные волны на движущихся границах // Радиотехника и электроника. 2000. Т. 45. № 3. С. 351–356.
6. Freund L.B. Dynamic fracture mechanics. N.-Y.: Cambr. Univ. Press, 1998. 563 p.
7. Левин В.М., Морозов Е.М., Матвиенко Ю.Г. Избранные нелинейные задачи механики разрушения. М.: Физматлит. 2004. 408 с.
8. Ельмешкин О.Ю., Шевяхов Н.С. О трансляционном переносе электровзвучивающих волн в сегнетоэлектрике движущимся полосовым доменом // Письма в ЖТФ. 2000. Т. 26. № 9. С. 14–19.
9. Ельмешкин О.Ю., Шевяхов Н.С. Спектр мод неколлинеарных электровзвучивающих граничных волн в сегнетоэлектрике с движущимся полосовым доменом // Акустический журнал. 2001. Т. 47. № 1. С. 69–75.
10. Вилков Е.А., Шавров В.Г., Шевяхов Н.С. Сдвиговая поверхностная волна на движущейся блоховской стенке // Известия вузов. Радиопизика. 2001. Т. 44. № 8. С. 712–724.
11. Шевяхов Н.С. О поверхностной ТМ-волне неколлинеарного типа на движущейся границе плазма–вакуум // Письма в ЖТФ. 2002. Т. 28. № 12. С. 40–47.
12. Колчина Г.А., Неганов В.А., Шевяхов Н.С. Поверхностные ТМ-волны на движущихся границах слоя плазмы // Физика волновых процессов и радиотехнические системы. 2004. Т. 7. № 2. С. 13–28.

Electroacoustic gap waves guided by cross moving crack of piezoelectric crystal

S.N. Maryshev, N.S. Shevyakhov

The mode properties of electroacoustic gap waves on plane boundaries of a crack, uniformly moving in a piezoelectric crystal of 6mm (4mm) class symmetry are discussed. It is shown that transverse motion of a crack causes nonlinearity of the electroacoustic waves attached by its, leads to parametrical connection of symmetric and antisymmetric modes and is a source of frequency dispersion.

Keywords: piezoelectric effect, electroacoustic wave, gap structure, dispersion, moving boundary.

Неганов, В.А.

Современная теория и практические применения антенн: монография / В.А. Неганов, Д.П. Табаков, Г.П. Яровой; предисловие академика Ю.В. Гуляева; под ред. В.А. Неганова. – М.: Радиотехника, 2009. – 720 с.



ISBN 978-5-88070-222-0

УДК 621.396.67

ББК 32.845

Рассмотрены основные разделы теории и техники антенн. Освещены вопросы расчета и построения различных типов антенн (от вибраторных до рупорных и антенных решеток, включая фазированные). Основное внимание уделено антеннам СВЧ и расчетам их электромагнитных полей в ближней зоне, т. е. вопросам электромагнитной совместимости.

Принципиальное отличие книги от известных заключается в последовательном применении метода физической регуляризации (самосогласованного метода) к расчету электромагнитного поля антенн, позволяющего осуществлять непрерывный переход с излучающей поверхности антенны к пространству вне ее. С помощью самосогласованного метода получены новые результаты по теории антенн: установлены связь между поверхностной плотностью тока на вибраторной антенне и напряженностью электромагнитного поля, однонаправленный режим излучения для кольцевой (рамочной антенны), режимы стоячих и бегущих волн в цилиндрической спиральной антенне, входное сопротивление практически для всех типов антенн. Теоретический материал подкреплен примерами применения многолучевых антенн.

Предназначено для разработчиков антенно-фидерных устройств, аспирантов и докторантов, занимающихся вопросами проектирования антенных систем различного назначения, студентов радиотехнических специальностей высших учебных заведений.